

**СТРУКТУРНО-ПАРАМЕТРИЧЕСКАЯ ИДЕНТИФИКАЦИЯ  
УПРУГОГО ЭЛЕМЕНТА СПУТНИКА-ГИРОСТАТА**© 2014 В.А. Русанов<sup>1</sup>, А.В. Данеев<sup>2</sup>, А.Е. Куменко<sup>2</sup><sup>1</sup> Институт динамики систем и теории управления им. В.М. Матросова СО РАН, г. Иркутск<sup>2</sup> Иркутский государственный университет путей сообщения

Поступила в редакцию 12.11.2014

Предложен прямой алгоритм структурно-параметрической идентификации дифференциальной модели демпфированных колебаний упругого элемента спутника-гиростата в форме уравнений Лагранжа II рода. Разработано соответствующее программно-математическое обеспечение, в его рамках приведен пример апостериорного моделирования поперечных колебаний защепленной штанги-балки.

*Ключевые слова:* имитационное моделирование, структурно-параметрическая идентификация.

**1. МОТИВАЦИИ И ПОСТАНОВКИ  
РЕШАЕМЫХ ЗАДАЧ**

Определение динамических характеристик упругих элементов крупногабаритных космических конструкций (УЭККК) относится к числу наиболее важных и трудных проблем динамики, что обусловлено жесткими требованиями к точности их ориентации и стабилизации [1]. Динамические свойства таких конструкций в значительной мере определяются инерционными, жесткостными и диссипативными характеристиками, в связи с чем большую роль играют экспериментальные методы исследований динамических свойств УЭККК. При этом в сочетании с теоретическими подходами [2, 3] экспериментальные методы [4-10] позволяют обоснованно выбрать «оптимальную структуру» математической модели УЭККК, определить ее текущие динамические характеристики с использованием (в контексте адаптивного управления) в контуре стабилизации [11]; на языке [8] теории дифференциальной реализации «оптимальная структура» означает *минимальный динамический порядок* системы - минимальная размерность пространства состояний. В данной работе идентификация минимального порядка системы не использует (в отличие от алгоритма из [8]) индекс функциональных струй, что позволяет при апостериорном моделировании избежать дифференцирование сигналов датчиков.

Распространенный способ дискретизации УЭККК, состоит в представлении перемещений

упругих элементов системы в виде рядов по некоторой полной системе пространственных функций (по собственным функциям эллиптического оператора системы [5]), умноженных на обобщенные координаты, при этом в указанных рядах, как правило, оставляют небольшое число первых членов. Этот метод обычно называют «методом нормальных форм колебаний» (менее часто – «методом усечения числа гармоник»); примером использования такого подхода при исследовании спектральных характеристик «усеченной УЭККК» служит теорема 9 [5]. Один из недостатков метода нормальных форм колебаний состоит в том, что усечение указанных выше рядов вносит элемент неопределенности, поскольку затруднительно заранее определить число форм колебаний, необходимое для того, чтобы этот метод дал удовлетворительные результаты. В свою очередь, отмеченное положение делает актуальным экспериментальное подтверждение/опровержение «рекомендаций» числа форм усечения, что осуществляет предлагаемое ниже программно-математическое обеспечение для решения задачи апостериорного моделирования уравнений УЭККК.

Численная процедура структурной идентификации (определение числа главных тонов стоячих волн) и алгоритм параметрической идентификации лагранжевой структуры реализованы [12] в программном комплексе МОДФОКБ (моделирование форм колебаний балки) автоматизации процесса построения апостериорных дифференциальных моделей, позволяющая существенно расширить возможности в области имитационного моделирования при проектировании измерительной аппаратуры. Включение в данный комплекс процедуры вычисления числа основных волн-гармоник и алгоритма параметрической идентификации предоставляет возможность построения более точных моделей, по которым на базе экспериментальных данных можно строить

*Русанов Вячеслав Анатольевич, доктор физико-математических наук, старший научный сотрудник.  
E-mail: vrusanov@mail.ru*

*Данеев Алексей Васильевич, доктор технических наук, профессор. E-mail: daneev@mail.ru*

*Куменко Антон Евгеньевич, кандидат технических наук, доцент.*

и анализировать (частотно-временной анализ) лагранжевую структуру в апостериорном моделировании уравнений динамики многокомпонентных стержневых систем [7] с учетом выбора оптимального числа датчиков съёмки первичной информации (пьезоакселерометры) и различной (допустимой) геометрии их размещения. При этом в условиях относительных равновесий спутника на базе МОДФОКБ, как интерактивного программно-математического комплекса численного моделирования осцилляторов форм-колебаний и проектирования измерительной аппаратуры в динамике напряженно-деформированного УЭККК позволяет исследовать следующие задачи:

- имитационное моделирование динамики поперечных колебаний УЭККК в виде суммы стоячих волн по методу усечения числа гармоник (Модуль-1-2);
- частотно-временной анализ поперечных колебаний УЭККК (Модуль-3);
- структурно-параметрическая идентификация уравнений поперечных колебаний УЭККК в условиях ограниченного числа измерительных датчиков (Модуль-4).

## 2. МОДУЛЬНАЯ СТРУКТУРА МОДФОКБ

Программно-алгоритмическая среда МОДФОКБ выполнена по модульному типу с использованием среды MATLAB («Control System Toolbox») и обеспечивает решение следующих задач имитационного моделирования процессов структурно-параметрической идентификации УЭККК:

**Модуль-1:** формирование «банка» стоячих волн-гармоник, описывающих демпфированные поперечные колебания гибкой штанги с защепленным концом.

Функциональные характеристики  $k$ -ой стоячей поперечной волны  $\gamma_k: T = [0, \tau]$  – интервал моделирования;  $l$  – длина штанги;  $\omega_k$  – собственная частота  $k$ -ой формы колебаний;  $\varphi_k$  – сдвиг фазы  $k$ -го обертона,  $0 \leq \varphi_k \leq \pi$ ;  $V_k$  – коэффициент масштабирования амплитуды  $k$ -ой волны;  $b_k$  – коэффициент затухания  $k$ -ой гармоники (на этапе имитационного моделирования все характеристики задаются пользователем).

В Модуле-1 формирование собственных форм-колебаний  $w_k$  стоячей волны демпфированного поперечного колебания штанги можно проводить по усмотрению пользователя либо в виде сплайн-аппроксимации числовых массивов, задающих данные формы посредством моделирования балки Тимошенко, либо (см. ниже замечание 1 к моделированию балки Эйлера-Бернулли) в аналитическом виде

$$x \mapsto w_k(x) = v_k (\cos(0,5k\pi l^{-1}x) - 1),$$

$$v_k \in R, \quad x \in [0, l]$$

В такой постановке  $k$ -ая стоячая волна  $\gamma_k$  поперечного колебания имеет вид

$$(x, t) \mapsto \gamma_k(x, t) = w_k(x) \exp(-b_k t) \times \sin(\omega_k t + \varphi_k), \quad (x, t) \in [0, l] \times T,$$

( $k=1$  – основной тон,  $k \neq 1$  – обертон) с моделью датчика, измеряющего в аксиальной точке  $x_0 \in (0, l]$  текущую амплитуду «прогиба» волны  $\gamma_k$ :

$$t \mapsto \gamma_k(x_0, t) = v_k (\cos(0,5k\pi l^{-1}x_0) - 1) \times \exp(-b_k t) \sin(\omega_k t + \varphi_k), \quad v_k \in R, \quad t \in T.$$

В Модуле-1 функционально предусмотрено:

1) имитационное моделирование демпфированного колебания изолированной (отдельной)  $k$ -ой поперечной стоячей волны  $(x, t) \mapsto \gamma_k(x, t)$  штанги;

2) сплайн-интерполяция вдоль линии профиля штанги собственной формы  $x \mapsto w_k(x)$  для  $k$ -ой гармоники осуществляться с шагом  $\Delta x = 0,02k^{-1}l$ ;

3) на временном интервале  $T$  анимация динамического процесса колебания каждой  $k$ -ой стоячей волны проходит с шагом  $\Delta t = 0,01k^{-1}T$  сек.

Графическая часть Модуля-1 позволяет:

1) строить на отрезке  $[0, l]$  форму распределенной амплитуды  $x \mapsto w_k(x)$  (осуществляется методом кубической сплайновой аппроксимации);

2) строить анимированный на временном интервале  $T$  динамический процесс колебаний  $(x, t) \mapsto \gamma_k(x, t)$   $k$ -ой стоячей волны в профиле штанги;

3) строить анимированный на  $T$  сигнал  $t \mapsto \gamma_k(x_0, t)$  и его производной

$$t \mapsto d\gamma_k(x_0, t) / dt = -b_k \gamma_k(x_0, t) + \omega_k w_k(x_0) e^{-b_k t} \cos(\omega_k t + \varphi_k)$$

в аксиальной точке  $x_0 \in (0, l]$ .

**З а м е ч а н и е 1.** В Модуле-1 представление собственных форм  $w_k$  можно назвать упрощенной моделью балки Эйлера-Бернулли, поскольку задача моделирования балки Тимошенко [6] приводит к дифференциальному уравнению

$$d^4 w_k(x) / dx^4 - \lambda_k^2 w_k(x) = 0$$

с частным решением (для защепленной балки Эйлера-Бернулли) вида:

$$x \mapsto w_k(x) = v_k (\cos(\lambda_k^{0,5} x) - ch(\lambda_k^{0,5} x)),$$

$$x \in [0, l], \quad k = 1, 2, \dots$$

**Модуль-2:** моделирование на базе принципа суперпозиции динамики кортежа поперечных форм-колебаний напряженно-деформированной штанги со свободным торцом; сборка функционального пакета из N различных волн-гармоник.

В Модуле-2 функционально предусмотрено:

1) задав целое N, проводить фиксацию  $\{\dots, \dots\}_N$  различных k-номеров волн-гармоник  $\gamma_k$  из Модуля-1 для сборки функционального пакета  $\xi_N$ ;

2) для каждой гармоники из выбранного пакета  $\xi_N$  определять и обозначать графически серии точек для узлов  $\{\dots, \dots\}_{k-узлы}$  и пучностей  $\{\dots, \dots\}_{k-пучности}$ ;

3) задавать число p измерительных датчиков для точечной съемки информации об амплитуде моделируемого колебательного движения штанги;

4) выбирать на штанге точки с координатами  $\{x_1, \dots, x_p\} \subset (0, l]$ ,  $0 < x_i < l$ ,  $i = 1, \dots, p$  расположения датчиков, измеряющих текущий «суммарный прогиб» демпфированных волн-гармоник функционального пакета  $\xi_N$  ( $\{\dots, \dots\}_{k-пучности}$ ).

Аналитическая модель функционального пакета  $\xi_N$  N-усеченного ряда числа гармоник свободных колебаний гибкой штанги в Модуле-2 имеет вид

$$(x, t) \mapsto \xi_N(x, t) = \sum_{k=1, \dots, N} \gamma_k(x, t), \quad (x, t) \in [0, l] \times T,$$

при этом модель измерений датчиков

$$\xi_N(x, t) \Big|_{x=x_i}, \quad i = 1, \dots, p \text{ представлена как}$$

$$t \mapsto \xi_N(x_1, t) = \sum_{k=1, \dots, N} \gamma_k(x_1, t), \quad t \in T;$$

.....

$$t \mapsto \xi_N(x_p, t) = \sum_{k=1, \dots, N} \gamma_k(x_p, t), \quad t \in T.$$

Графическая часть Модуля-2 позволяет:

1) строить анимированное на интервале T колебание штанги  $(x, t) \mapsto \xi_N(x, t)$ , представленное функциональным пакетом N-усеченного ряда числа гармоник;

2) строить анимированную на интервале T функцию  $t \mapsto \xi_N(x_i, t)$ ,  $x_i \in (0, l]$  показаний i-го ( $i=1, \dots, p$ ) датчика и сигнала его производной  $t \mapsto d\xi_N(x_i, t)/dt$ ;

3) строить анимированную на T свертку

$$t \mapsto \left( \sum_{i=1, \dots, p} q_i \xi_N(x_i, t) \right) + \sum_{i=1, \dots, p} g_i d\xi_N(x_i, t)/dt, \quad q_i, g_i \in R;$$

от сигналов датчиков поперечных перемещений и их скоростей.

**Модуль-3:** диагностирование частот поперечных деформаций штанги посредством апостериорной оценки спектральной плотности мощности сигналов датчиков величины её прогиба; преобразование Фурье для автокорреляционных функций

$$t \mapsto \zeta_i(t) := \int_{-\infty}^{\infty} \xi_N(x_i, \tau) \xi_N(x_i, t - \tau) d\tau, \quad i = 1, \dots, p.$$

В Модуле-3 функционально предусмотрено:

1) проводить спектральный анализ преобразований Фурье автокорреляционных функций  $t \mapsto \zeta_i(t)$ ,  $i = 1, \dots, p$  методами Томсона, Уэлча и периодограммы с помощью MATLAB-операторов pmtm, pwelch, periodogram;

2) выделять для сигналов  $t \mapsto \xi_N(x_i, t)$ ,  $x_i \in (0, l]$ ,  $i = 1, \dots, p$  частоты их максимальной спектральной плотности с целью: оценки числа N активированных в штанге форм-колебаний, оценки значений собственных частот  $\omega_k$  деформаций штанги, оценки коэффициента  $V_k$  масштабирования амплитуды k-ой стоячей волны.

Графическая часть Модуля-3 позволяет:

1) выполнить MATLAB-процедурами pmtm, pwelch, periodogram оценку спектральной плотности

$$|S_i(\omega)|^2 = \int_{-\infty}^{\infty} \zeta_i(\tau) e^{-j\omega\tau} d\tau \text{ мощности сиг-$$

налов  $t \mapsto \xi_N(x_i, t)$ ,  $i = 1, \dots, p$ , строя их графики в логарифмической шкале (ремарка: данная операция эффективна при больших частотах  $\omega_k$ , либо на малых частотах  $\omega_k$  при невысоком ( $\approx 0$ ) коэффициенте затухания  $b_k$ );

2) делать оценку частот сигнальных функций (возбуждающий сигнал) для алгоритма параметрической идентификации, реализованного в Модуле-4.

Замечание 2. В идеале комплекс должен быть оснащен инструментом, который автоматически решает задачу 2), пока пользователь на эмпирической базе, полученной из pmtm, pwelch, periodogram, должен сам заниматься данной оценкой.

**Модуль-4:** структурно-параметрическая идентификация уравнений поперечных колебаний гибкой штанги с жестко закрепленным концом; дифференциальная реализация [5] (см. также [13]) вектор-функции сигналов датчиков

$$t \mapsto \xi_N(x_i, t), \quad i = 1, \dots, p.$$

В Модуле-4 функционально предусмотрено:

1) определение количества всех активированных в Модуле-2 осцилляторов волн-гармоник



### 3. ИДЕНТИФИКАЦИЯ УРАВНЕНИЙ УЭККК

В Модуле-4 задача идентификации модели динамики УЭККК решается в форме уравнений Лагранжа второго рода

$$M d^2 z(t) / dt^2 + D z(t) / dt + S z(t),$$

$$z = col(z_1, \dots, z_N), \quad (2)$$

где  $M, D, S$  – матрицы коэффициентов инерции, демпфирования и жесткости; модификация алгоритма (2.2) [8] позволяет расширить (2) до модели с управлением.

В рамках метода усечения (замечание 4) числа стоячих волн-гармоник, описывающих демпфированные колебания штанги-балки с зацепленным концом, в Модуле-4 проводится дифференциальная аппроксимация [15, с. 392] «модифицированного» (умножена на  $M^{-1}$ ) уравнения (2), описывающего колебательные отклонения штанги от её постоянного деформированного состояния. В условиях апостериорного моделирования уравнения (2) задача идентификации матриц  $M^{-1}D, M^{-1}S$  строится (на базе измерений собственного движения век-

тора  $col\left(\overset{\vee}{z}_1(t), \dots, \overset{\vee}{z}_N(t)\right)$  на временном интервале  $T$ ) из решения следующей задачи (см. (8.70) [15, с. 393]) параметрической оптимизации:

$$\min \int_T \left\| d^2 \overset{\vee}{z}(\tau) / d\tau^2 + M^{-1} D d\overset{\vee}{z}(\tau) / d\tau + M^{-1} S \overset{\vee}{z}(\tau) \right\|^2 d\tau, \quad (3)$$

где  $\|\cdot\|$  – евклидова норма в  $R^N$ ; как отмечено в [15, с. 392] данная постановка – прямое обобщение корреляционных методов, поэтому более помехозащищена в отличие от схемы параметрической идентификации, предложенной в [13,16].

Процедура решения (8.71) [15] задачи (3) укладывается в алгоритмическую схему вычисления матриц  $M^{-1}D, M^{-1}S$ , выраженную блочно-матричным соотношением:

$$[M^{-1}D, M^{-1}S] = - \int_T \omega_d(\tau) [\omega(\tau)]^* d\tau \times$$

$$\times \left[ \int_T \omega(\tau) [\omega(\tau)]^* d\tau \right]^{-1}, \quad (4)$$

$$\omega_d(t) := col\left(d^2 \overset{\vee}{z}_1(t) / dt^2, \dots, d^2 \overset{\vee}{z}_N(t) / dt^2\right) \in R^N,$$

$$\omega(t) := col\left(d \overset{\vee}{z}_1(t) / dt, \dots, d \overset{\vee}{z}_N(t) / dt, \overset{\vee}{z}_1(t), \dots, \overset{\vee}{z}_N(t)\right) \in R^{2N},$$

где  $[M^{-1}D, M^{-1}S]$  – блочная  $N \times 2N$ -матрица,  $[\cdot]^*$  – операция транспонирования.

З а м е ч а н и е 5. Формула (4) позволяет по апостериорным данным измерений датчиков  $\omega_d(\cdot), \omega(\cdot)$  восстановить  $N \times N$ -матрицы  $M^{-1}D, M^{-1}S$ . В качестве датчиков можно (как в [9]) использовать пьезоакселерометры АС 56511 массой 0,001 кг с рабочим диапазоном 1-3000 Гц и диапазоном измеряемых ускорений 0,1-100 g.

Согласно (4) уравнения Лагранжа (2) трансформируются к виду Коши с вектором состояний  $\omega(t) \in R^{2N}$  и  $2N \times 2N$ -матрицей идентифицированной системы

$$\begin{bmatrix} -M^{-1}S \dots -M^{-1}D \\ \mathbf{0}_N \dots \dots \dots E_N \end{bmatrix},$$

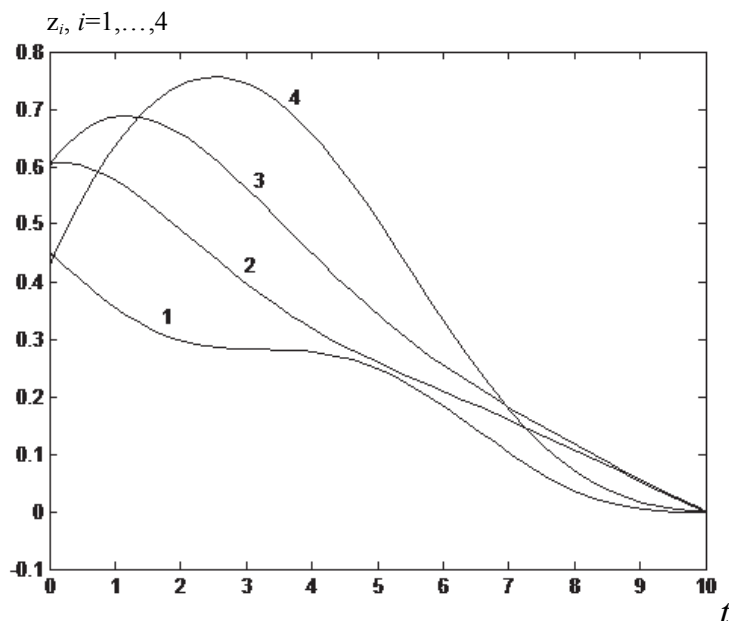
где  $\mathbf{0}_N$  и  $E_N$  – соответственно нулевая и единичная  $N \times N$ -матрицы.

Ниже для предложенных алгоритмов приведен результат тестовой проверки моделирования пакета стоячих волн при исходных данных:  $T=10$  сек,  $l=10$  м,  $N=4$ . Движение  $t \mapsto \xi_4(x_i, t) := \overset{\vee}{z}_i(t)$ ,  $i=1, \dots, 4$  в точках  $x_i$ ,  $i=1, \dots, 4$  («эталонная» модель) и ее «несогласованное»  $t \mapsto \Delta z_i(t)$ ,  $i=1, \dots, 4$  с динамикой  $t \mapsto z_i(t)$ ,  $i=1, \dots, 4$  идентифицированной модели (2)-(3) представлены на рис. 1, 2 (кривые  $i=1, \dots, 4$  соответствуют номерам датчиков), идентифицированные матрицы  $M^{-1}D, M^{-1}S$  уравнения (2) в силу (4) имели оценку:

$$M^{-1}D = \begin{bmatrix} -0,2843 \dots 0,8147 \dots -0,7495 \dots 0,2909 \\ -0,4651 \dots 1,2049 \dots -1,0873 \dots 0,4219 \\ -0,6417 \dots 1,6048 \dots -1,4720 \dots 0,5840 \\ -0,8676 \dots 2,1738 \dots -2,0620 \dots 0,8264 \end{bmatrix}^?$$

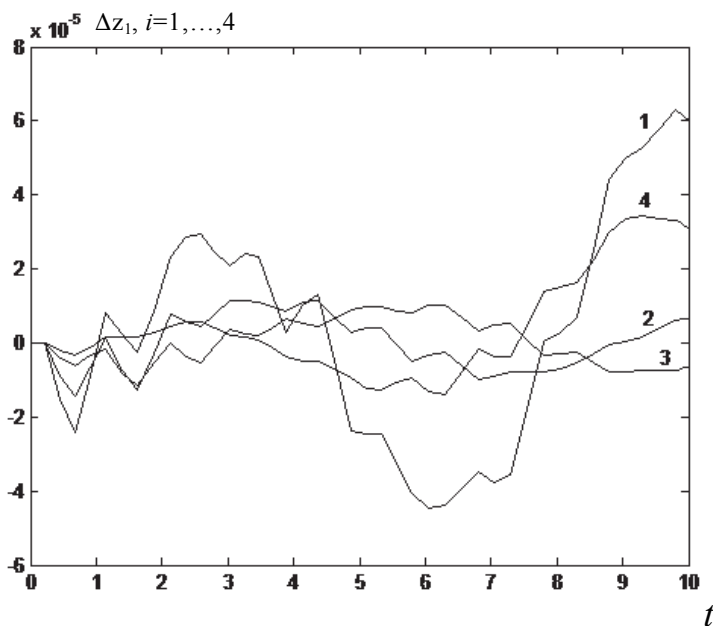
$$M^{-1}S = \begin{bmatrix} 0,7732 \dots -0,5128 \dots -0,0141 \dots -0,0206 \\ 0,3620 \dots -0,2880 \dots 0,4371 \dots -0,3314 \\ 1,3801 \dots -3,3561 \dots 3,5122 \dots -1,3574 \\ 3,1416 \dots -8,5981 \dots 8,0190 \dots -2,6727 \end{bmatrix}$$

Численный эксперимент подтвердил (рис. 1, 2) теоретический результат утверждения (\*) и алгоритма (3)-(4) в структурно-параметрической



**Рис. 1.**  $\check{z}_1(t), \check{z}_2(t), \check{z}_3(t), \check{z}_4(t)$  – показания датчиков «эталонной» модели,  $z_1(t), z_2(t), z_3(t), z_4(t)$  – показания датчиков идентифицированной модели;

$i$  – графики совпадают, т.к.  $|\Delta z_i(t)| < 8 \cdot 10^{-5}, i=1, \dots, 4$   
(ось абсцисс – время [сек])



**Рис. 2.**  $\Delta z_1(t) := \check{z}_1(t) - z_1(t) < 8 \cdot 10^{-5}$ ,  $\Delta z_2(t) := \check{z}_2(t) - z_2(t) < 2 \cdot 10^{-5}$ ,  
 $\Delta z_3(t) := \check{z}_3(t) - z_3(t) < 2 \cdot 10^{-5}$ ,  $\Delta z_4(t) := \check{z}_4(t) - z_4(t) < 4 \cdot 10^{-5}$   
(ось абсцисс – время [сек])

идентификации многомерных систем, описываемых векторно-матричным дифференциальным уравнением (2), на основе интегральной обработки измерений пьезоакселерометров.

Изложенная выше методология структурно-параметрической идентификации позволяет (при соответствующей модификации алгоритма (4)) охватить апостериорное моделирование ква-

зилинейных систем (в том числе пространственного вращательного движения с демпфированием, описываемого уравнениями Эйлера; см. модель (1.1), алгоритм (2.2) и пример 1 из [8]), а также проводить текущую (временную) идентификацию [17-20] параметров закрепления распределенной механической системы.

Работа выполнена при частичном финансировании Гранта Президента Российской Федерации для государственной поддержки ведущих научных школ (НШ-5007.2014.09).

### СПИСОК ЛИТЕРАТУРЫ

1. Русанов В.А., Данеев Р.А. Об адаптивной настройке параметров источника электромагнитного излучения на геостационарной орбите // Управляющие системы и машины. 2014. № 6. С. 12-17.
2. Ермилов А.С., Ермилова Т.В. Математическая модель углового движения больших космических конструкций с гироскопическим приводом для активной компенсации упругих колебаний // Докл. РАН. 2011. Т. 436. № 6. С. 743-746.
3. Rusanov V.A., Antonova L.V., Daneev A.V. Inverse Problem of Nonlinear Systems Analysis: A Behavioral Approach // Advances in Differential Equations and Control Processes. 2012. Vol. 10. No. 2. P. 69-88.
4. Зимин В.Н., Колосков И.М., Мешковский В.Е. Динамические испытания раскрывающейся зеркальной космической антенны // Проблемы машиностроения и надежности машин. 2000. № 10. С. 120-124.
5. Данеев А.В., Русанов В.А., Русанов М.В. От реализации Калмана-Месаровича к линейной модели нормально-гиперболического типа // Кибернетика и системный анализ. 2005. № 6. С. 137-157.
6. Ахтямов А.М., Урманчиев С.Ф. Определение параметров твердого тела, прикрепленного к одному из концов балки, по собственным частотам колебаний // Сибирский журнал индустриальной математики. 2008. Т. XI. № 4. С. 19-24.
7. Сергиенко И.В., Дейнека В.С. Идентификация параметров многокомпонентных стержневых систем // Доп. НАН України. 2008. № 1. С. 35-42.
8. Русанов В.А., Шартинский Д.Ю. К теории структурной идентификации нелинейных многомерных систем // Прикладная математика и механика. 2010. Т. 74. Вып. 1. С. 119-132.
9. Зимин В.Н. Экспериментальное определение динамических характеристик крупногабаритных трансформируемых космических конструкций // Вестник МГТУ. Сер. "Машиностроение" 2011. № 1. С. 47-56.
10. Алешин А.К. Метод определения массы и координат центра масс тела в заданной плоскости // Проблемы машиностроения и надежности машин. 2011. № 2. С. 9-14.
11. Ермилов А.С., Ермилова Т.В. Синтез алгоритма активной компенсации упругих колебаний с нестационарными параметрами деформируемых космических аппаратов // Автоматика и телемеханика. 2012. № 4. С. 66-82.
12. Козырев В.А., Антонова Л.В., Носков С.И., Русанов В.А., Шартинский Д.Ю. Моделирование динамики форм колебаний балки "МОДФОКБ" // Свидетельство Федеральной службы по интеллектуальной собственности, патентам и товарным знакам о государственной регистрации программы для ЭВМ, № 2012615101; опублик. 20.09.2012. Бюл. № 3(80). С. 482.
13. Дмитриев А.В., Дружинин Э.И. Идентификация динамических характеристик непрерывных линейных моделей в условиях полной параметрической неопределенности // Изв. РАН. Теория и системы управления. 1999. № 3. С. 44-52.
14. Гантмахер Ф.Р. Теория матриц. М.: Наука, 1988. 552 с.
15. Эйххофф П. Основы идентификации систем управления. М.: Мир, 1975. 687 с.
16. Данеев А.В., Козырев В.А., Куменко А.Е., Русанов В.А. О структурно-параметрической идентификации стационарных многомерных систем // Известия Самарского научного центра РАН. 2009. Т. 11. № 3. С. 122-130.
17. Akhtyamov A.M., Mouftakhov A.V. Identification of boundary conditions using natural frequencies // Inverse problems in Science and Engineering. 2004. Vol. 12. No. 4. P. 393-408.
18. Ахтямов А.М., Урманчиев С.Ф. Корректность по Тихонову задачи идентификации закрепленных механических систем // Сибирский журнал индустриальной математики. 2012. Т. XV. № 4. С. 24-37.
19. Сомов Е.И., Бутырин С.А. Полетная идентификация и силовая гироскопическая стабилизация слабо демпфированной конструкции крупногабаритного спутника // Проблемы управления. 2013. № 2. С. 51-57.
20. Rusanov V.A., Lakeev A.V., Linke Yu.E., Voronov V.A. On realization of dynamic systems: Assessment of fiducial accuracy in the process of adjustment of the realization matrix // Far East Journal of Dynamical Systems. 2014. Vol. 25. No. 1, pp. 23-35.

## STRUCTURAL-PARAMETRIC IDENTIFICATION OF EQUATIONS OF DIFFERENTIAL DYNAMICS OF THE ELASTIC ELEMENT OF THE SATELLITE-GYROSTAT

© 2014 V.A. Rusanov<sup>1</sup>, A.V. Daneev<sup>1</sup>, A.E. Kumenko<sup>2</sup>

<sup>1</sup>Institute of System Dynamics and Control Theory SO RAN, Irkutsk

<sup>2</sup>Irkutsk State University of Railway Transport

A direct algorithm of structural-parametric identification of differential model of damped oscillation of elastic element of the satellite-gyrostator in the form of Lagrange equations of type II was suggested. An appropriate mathematical software was developed within its frameworks an example of a posteriori modeling of transverse vibrations of split rod-beams was led.

*Key words:* simulation, structural-parametric identification, elastic element of the satellite-gyrostator

Vyacheslav Rusanov, Doctor of Physics and Mathematics, Senior Research Fellow. E-mail: v.rusanov@mail.ru

Aleksei Daneev, Doctor of Technics, Professor.

E-mail: daneev@mail.ru

Anton Kumenko, Candidate of Technics, Associate Professor.